

УДК 537.76

© 1991

РЕЗОНАНСНОЕ ЭКСИТОННОЕ КОМБИНАЦИОННОЕ РАССЕЯНИЕ СВЕТА В ПОЛУМАГНИТНОМ ПОЛУПРОВОДНИКЕ

Ф. М. Гашидзе, Р. С. Надирзаде, Т. Г. Исмаилов

Теоретически исследовано резонансное экситонное комбинационное рассеяние света в полумагнитном полупроводнике. Предварительно найден спектр экситонов вариационным методом. Рассмотрены экситонное комбинационное рассеяние света (КРС) без участия фононов и однофононное КРС. На примере $Cd_{1-x}Mn_xTe$ сделаны оценки сечений рассеяния и показано, что однофононный отклик дает вклад в сечение по порядку малости α_s (α_s — фреilihовская константа связи). Получены формулы для резонансной частоты и порога, который возникает при однофононном процессе. Форма линии резонансного экситонного КРС, когда участвуют основные состояния экситонов, оказалась лоренцевской, в то время как при однофононном повторении форма линии нелоренцевская.

Как известно, спектры комбинационного рассеяния света (КРС) в полупроводниках несут информацию об электронных возбуждениях в кристалле, электрон-фононных механизмах взаимодействия, о процессах релаксации электронных возбуждений и т. п. Уникальные свойства полумагнитных полупроводников (ПМП) ($Cd_{1-x}Mn_xTe$, $Hg_{1-x}Mn_xTe$ и др.) [1, 2] и возможность применения этих материалов в технике привлекают к ним внимание исследователей — как экспериментаторов, так и теоретиков. Наличие в ПМП обменного взаимодействия между спинами магнитных ионов Mn^{+2} и свободных носителей даже в слабых магнитных полях приводит к гигантским спиновым расщеплениям электронных и дырочных зон, а также экситонных состояний и к сильной анизотропии их спектра. Это позволяет наблюдать в ПМП как электронное КРС, так и экситонное. Экспериментально электронное КРС в $Cd_{1-x}Mn_xTe$ изучено в работе [3]. Теоретически резонансное электронное КРС рассмотрено в статьях [4, 5]. В этих работах изучены процессы рассеяния с возбуждением электронных состояний непрерывного спектра — состояний электронно-дырочной пары (экситоны — в зоне проводимости, дырка — в валентной зоне), причём кулоновское взаимодействие между электроном и дыркой не учитывалось.

Для того чтобы электронное КРС было резонансным, необходимо выполнение условия [5]

$$\omega_i > \mathcal{E}_g + 3Ar - A, \quad (1)$$

где ω_i (ω_s) — частота падающего (рассеянного) света; $\mathcal{E}_g + 3Ar - A$ — ширина щели между зонами, участвующими в процессе КРС; $r = \alpha/\beta$,

$$A = \frac{\beta}{6} N_s \langle S_z \rangle, \quad \alpha = \langle S | \mathcal{J}(r) | S \rangle, \quad \beta = \langle X | \mathcal{J}(r) | X \rangle,$$

$\mathcal{J}(r)$ — обменный интеграл; N_s — концентрация ионов Mn^{+2} ; $\langle S_z \rangle$ — среднестатистическое значение проекции спина иона марганца на ось z . В случае, когда $\omega_i \leq \mathcal{E}_g + 3Ar - A$, необходимо учитывать экситонные эффекты. Расщепление экситонных состояний в $Cd_{1-x}Mn_xTe$ изучено в работах [6-8]. Учет этих эффектов приводит к тому, что в спектре сдвига частоты $\omega =$

$= \omega_l - \omega_s$, появляется ряд дискретных линий, соответствующих возбуждению в кристалле дискретных экситонных зон с суммарным волновым вектором $\mathbf{K} = \mathbf{x}_l - \mathbf{x}_s$, где \mathbf{x}_l (\mathbf{x}_s) — волновой вектор первичного (вторичного) света.

Анизотропия экситонных состояний приводит к особенностям в спектре КРС и формы линии.

В настоящей работе проведен расчет сечения и формы линии экситонного КРС, которые соответствуют процессам возбуждения в ПМП экситонных состояний при облучении кристалла первичным светом с частотой, лежащей в области фундаментальной поглощения. В разделе 1 работы найдены спектр и волновые функции экситонов с помощью вариационного метода. В разделе 2 проведен расчет сечения и формы линии резонансного экситонного КРС без учета экситон-фононного взаимодействия, а в разделе 3 — расчет сечения и формы линии однофононного резонансного экситонного КРС. Расчеты проводились на основе общей теории вторичного излучения с применением графической техники [9, 10]. В конце каждого раздела сделаны выводы и приведены оценки сечения КРС.

1. Спектр и волновые функции основного состояния экситонов в $\text{Cd}_{1-x}\text{Mn}_x\text{Te}$

Согласно зонной структуре $\text{Cd}_{1-x}\text{Mn}_x\text{Te}$, приведенной в [5], возможно восемь типов экситонов, которые образованы четырьмя зонами дырок и двумя электронными зонами. В зависимости от геометрии эксперимента будут возбуждаться различные экситонные состояния. Не уменьшая общности расчетов, рассмотрим процесс, при котором векторы поляризации падающего e_i и рассеянного e_s света взаимно перпендикулярны ($e_i = e_{ix} + ie_{iy}$, $e_s = e_{sx} - ie_{sy}$), т. е. в экситонном КРС участвуют экситонные состояния, образованные зонами 1,5 и 1,3 [5]. Кстати, условие (1) также соответствует этой геометрии эксперимента. Учитывая, что вариационный метод дает хорошие результаты при вычислении энергий и волновых функций основного состояния экситона, в разделе 2 мы рассмотрели КРС, в котором участвуют только эти состояния. В случае учета возбужденных состояний необходимы более точные методы расчета спектра и волновых функций состояний.

Если энергию экситона, образованного i -й зоной проводимости и j -й зоной дырок, обозначить через $E_{ij}(\mathbf{k}, n)$, где n — главное квантовое число экситона, а энергию основного состояния — через $E_{ij}(0, 1)$, то, согласно [11, 12], имеем

$$E_{ij}(0, 1) = \frac{1}{3a_{ij}} \left(\frac{\gamma}{1 + \alpha'^2} + 2 \right) - \frac{2}{\alpha' a_{ij}} \text{arcsch } \alpha' + \Delta E_{ij}, \quad (2)$$

$$a_{ij} = \frac{a'}{3 \text{arcsch } \alpha'} \left(2 + \frac{\gamma}{1 + \alpha'^2} \right), \quad (3)$$

$$\gamma = 2(1 + \alpha'^2)^{3/2} \frac{\sqrt{1 + \alpha'^2} \text{arcsch } \alpha' - \alpha'}{\alpha' \sqrt{1 + \alpha'^2} - \text{arcsch } \alpha'}, \quad (4)$$

$$\alpha' = \frac{b_{ij}^2}{a_{ij}^2} - 1, \quad \gamma = \frac{\gamma_{ij\perp}}{\gamma_{ij\parallel}} = \frac{(1/m_{i\perp}) + (1/m_{j\perp})}{(1/m_{i\parallel}) + (1/m_{j\parallel})}, \quad (5)$$

где ΔE_{ij} — щель между i -й и j -й зонами; a_{ij} , b_{ij} — вариационные коэффициенты; m_{ix} ($m_{i\perp}$) — продольная (поперечная) компонента эффективной массы частицы в i -й зоне; μ_{ix} ($\mu_{i\perp}$) — приведенная продольная (поперечная) масса. Волновая функция основного состояния определяется соотношением

$$\Psi = R_{1,0,0} \Psi_i \Psi_j = R_{1,0,0} \mu_i \mu_j, \quad (6)$$

где $u_i(j)$ — блок-функции амплитуды соответствующих зон [5]. Радиальная часть $R_{1,0,0}$ функции (6) имеет вид

$$R_{1,0,0} = \frac{1}{\sqrt{\pi a_{ij} b_{ij}}} e^{-\sqrt{x^2+y^2/a_{ij}^2+z^2/b_{ij}^2}} \quad (7)$$

Эффективные массы $m_{iz(1)}$ в параболическом приближении, которые зависят от обменной энергии, приведены в работе [5], причем эффективные массы для зон 1 и 5 одного порядка, а для зон 1 и 3 они могут отличаться на несколько порядков. Поэтому в расчетах экситон, образованный зонами 1 и 5, можно считать водородоподобным и использовать энергию и волновые функции возбужденных состояний такого экситона при вычислении сечения КРС. Из [5] следует, что

$$\Delta E_{15} = \mathcal{E}_g - 3Ar + A, \quad (8)$$

$$\Delta E_{13} = \mathcal{E}_g - 3Ar - 3A. \quad (9)$$

2. Расчет сечения и формы линии резонансного экситонного КРС в $\text{Cd}_{1-x}\text{Mn}_x\text{Te}$

Согласно общей теории вторичного излучения в полупроводниках [9], основной вклад в сечение резонансного экситонного КРС будет давать диаграмма (рис. 1). Здесь сплошная линия соответствует экситону в основном состоянии, и ей сопоставляется функция Грина¹

$$iG(\mathbf{x}_l, \omega_l) = i[\omega_l - E_{1,5}(0, 1)/\hbar + i\gamma_1/2]^{-1}, \quad (10)$$

$$iG^-(\mathbf{x}_l - \mathbf{x}_s, \omega_l - \omega_s) = \gamma_2 / \{[\omega_l - \omega_s - E_{1,3}(0, 1)/\hbar]^2 + \gamma_2^2/4\}, \quad (11)$$

где γ_1 (γ_2) — обратное время жизни экситона, образованного зонами 1 и 5, 1 и 3, в основном состоянии. В отсутствие пространственной дисперсии

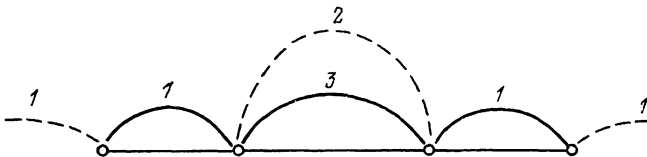


Рис. 1. Диаграмма, дающая основной вклад в сечение бесфононного резонансного экситонного КРС: \mathbf{x}_l, ω_l (1), \mathbf{x}_s, ω_s (2), $\mathbf{x}_l - \mathbf{x}_s, \omega_l - \omega_s$ (3).

$\mathbf{x}_l - \mathbf{x}_s = 0$ и $\mathbf{k} = 0$, т. е. когда участвуют основные состояния экситонов с нулевым импульсом, мы предполагаем γ_1 (γ_2) не зависящими от частоты. Расчет диаграммы (рис. 1) дает следующие выражения для сечения резонансного экситонного КРС:

$$\frac{d^2 S}{d\omega_s d\Omega} = \frac{r_0^2 \omega_s n(\omega_s) m_0^2 P^4 V_0}{3\pi a_{15}^3 \hbar^3 n(\omega_l) \omega_l} |e_l^+ e_s^-|^2 \frac{|R_{1,0,0}^{1',0,0}|^2}{\pi^2 a_{15}^2 d_{13}^2 b_{15} b_{13}} \times \frac{1}{[\hbar\omega_l - E_{15}(0, 1)]^2 + (\hbar\gamma_1/2)^2} \frac{1}{[\hbar\omega_l - \hbar\omega_s - E_{1,3}(0, 1)]^2 + (\hbar\gamma_2/2)^2}, \quad (12)$$

$$R_{1,0,0}^{1',0,0} = \int r^2 e^{-\sqrt{x^2+y^2/a_{10}^2+z^2/b_{15}^2}} e^{-\sqrt{x^2+y^2/a_{13}^2+z^2/b_{13}^2}} dr, \quad (13)$$

где r_0 — классический радиус электрона, m_0 — масса свободного электрона, P — параметр Кейна, $n(\omega_s) = n(\omega_l)$ — показатель преломления света в кристалле, V_0 — объем кристалла, \hbar — постоянная Планка. Из (12) видно, что при $\hbar\omega_l - E_{15}(0, 1) \gg \hbar\gamma_1/2$ форма резонансного КРС определяется γ_2 и является лоренцевой. Резонансная частота сдвига определяется формулой

$$\hbar\omega_{\text{рез}} = E_{13}(0, 1). \quad (14)$$

¹ Правила диаграммной техники подробно изложены в работе [9].

Так как в рассматриваемом процессе рассеяния учитывались основные состояния экситонов с суммарным волновым вектором $\mathbf{k}=0$, то анизотропия экситонных состояний существенно не влияла на такие переходы в отличие от электронного резонансного КРС [4, 5], в спектре которого из-за анизотропии появлялся порог, а форма линии становилась нелоренцевой.

Для оценки сечения используем параметры $\text{Cd}_{1-x}\text{Mn}_x\text{Te}$, приведенные в [5], а также $E_{15}(0, 1) - E_{13}(0, 1) = 7$ мэВ, $\hbar\gamma_1 = \hbar\gamma_2 = 1$ мэВ [1, 2, 7], $\hbar\omega_i = 1.65$ эВ, $a_{15} = a_{13} = b_{15} = b_{13} = 5 \cdot 10^{-9}$ см — радиус первой боровской орбиты, для которых сечение имеет порядок $10^{-18} - 10^{-17}$ ср $^{-1}$.см 2 .с, что на два порядка меньше сечения электронного резонансного КРС [5]. В то же время для малых квантовых чисел экситона вклад в сечение от переходов через промежуточное состояние экситона из дискретного спектра превышает вклад переходов через промежуточное экситонное состояние непрерывного спектра [13]. Для приведенных выше параметров отношение этих вкладов порядка 10^3 .

3. Расчет сечения и формы линии однофононного резонансного экситонного КРС в $\text{Cd}_{1-x}\text{Mn}_x\text{Te}$

Учет экситон-фононного взаимодействия в процессе КРС в ПМП представляет интерес по двум причинам. Во-первых, расчет сечения фононного отклика дает возможность оценить и сравнить значение сечения с другими видами КРС. Во-вторых, поскольку экситон-фононное взаимодействие приводит к изменению волнового вектора экситона, т. е. когда процесс

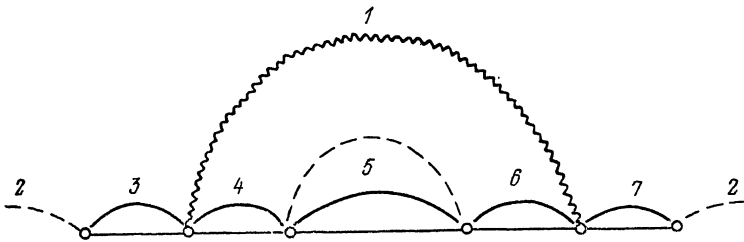


Рис. 2. Диаграмма, дающая основной вклад в сечение однофононного резонансного экситонного КРС: $\mathbf{k} - \mathbf{x}_i$, ω (1), \mathbf{x}_i , ω_i (2), \mathbf{x}_i , ω_i , m_1 (3), \mathbf{k} , $\omega_i - \omega$, m_2 (4), $\mathbf{k} - \mathbf{x}_s$, $\omega_i - \omega - \omega_s$, n (5), \mathbf{k} , $\omega_i - \omega$, m_2 (6), \mathbf{x}_i , $\omega_i - \omega$, m_2 (7).

идет с $\mathbf{k} \neq 0$, в спектре КРС из-за анизотропии экситонных состояний появляется порог, а форма линии становится нелоренцевой. Согласно [9], для расчета сечения резонансного однофононного экситонного КРС необходимо вычислить диаграмму.

Диаграмма (рис. 2) описывает следующий процесс: на кристалл при $T=0$ падает фотон (ω_i , \mathbf{x}_i), в результате поглощения фотона рождается экситон в состоянии \mathbf{x}_i , ω_i , m_1 , который образован зонами 1 и 5, и предполагается водородоподобным. После экситон-фононного взаимодействия экситон переходит в состояние, образованное зонами 1 и 3 с $\mathbf{k} - \mathbf{x}_s$, $\omega_i - \omega - \omega_s$, n , которое уже нельзя считать водородоподобным, и поэтому ограничимся переходом в основное состояние этого экситона, т. е. $n=1$. При этом экситон излучает вторичный свет \mathbf{x}_s , ω_s . Итак, в конечном состоянии будем иметь экситон $\mathbf{k} - \mathbf{x}_s$, $\omega_i - \omega - \omega_s$, n , фонон $\mathbf{k} - \mathbf{x}_i$, ω и фотон \mathbf{x}_s , ω_s . Учитывая, что $\mathbf{k} \gg \mathbf{x}_i$ (\mathbf{x}_s), пренебрежем векторами фотонов, а матричный элемент экситон-фононного взаимодействия представим в виде

$$d_{\mathbf{x}_s \mathbf{k}}^{m m_1} = \frac{d}{\mathbf{k} - \mathbf{x}_s} = \frac{d}{\mathbf{k}} = d_{\mathbf{k} \mathbf{x}_s}^{m, m_1}, \quad (15)$$

$$d^2 = \frac{8\pi\hbar^2}{V_0} \frac{\alpha_s \sqrt{\hbar} \omega_{LO}^{3/2}}{2\sqrt{M_s}}. \quad (16)$$

Связь экситонов с LO фононами считаем слабой, т. е. полагаем, что фре-лиховская константа связи для экситонов $\alpha_s \ll 1$

$$\alpha_s = \frac{e^2}{2\hbar\omega_{LO}l_s} (\varepsilon_\infty^{-1} - \varepsilon_0^{-1}),$$

$$l_s = \left(\frac{\hbar}{2M_s\omega_{LO}} \right)^{1/2}. \quad (17)$$

Здесь ε_0 (ε_∞) — статическая (высокочастотная) диэлектрическая проницаемость; $M_s = m_l + m_h$ — масса экситона; m_l (m_h) — эффективная масса электрона (дырки); ω_{LO} — предельная частота LO колебаний решетки. Для расчета диаграммы (рис. 2) использованы функции Грина экситонов

$$iG(\mathbf{x}_l, \omega_l, m_1, \mathbf{k}) = i[\omega_l - E_{15}(m_1, \mathbf{k})/\hbar + i\gamma_{11}(m_1, \mathbf{k})/2]^{-1},$$

$$iG^-(\mathbf{k} - \mathbf{x}_s, \omega_l - \omega_s - \omega, n) = \frac{\gamma_2(\mathbf{k} - \mathbf{x}_s, n)}{\{[\omega_l - \omega - \omega_s - E_{13}(n, \mathbf{k})/\hbar]^2 + |\gamma_2(\mathbf{k} - \mathbf{x}_s, n)|^2\}} \quad (18)$$

и функция Грина фонона

$$iD^-(\mathbf{x}_l - \mathbf{k}, \omega) = \frac{\Gamma(\mathbf{x}_l - \mathbf{k})}{(\omega - \omega_{LO})^2 + |\Gamma(\mathbf{x}_l - \mathbf{k})|^2}, \quad (19)$$

где $\Gamma(\mathbf{x}_l - \mathbf{k})$ — затухание LO фононов. Так как при интегрировании по частоте ω существенно поведение функции Грина в окрестности полюсов, то мы пренебрегаем в (18) зависимостью $\gamma(\mathbf{k}, \omega, m)$ от ω , полагая $\gamma(\mathbf{k}, \omega, m) = \gamma(k, \omega(\mathbf{k}, m), m) = \gamma(\mathbf{k}, m)$. В результате получаем следующее выражение для сечения однофононного резонансного экситонного КРС [9]:

$$\frac{d^2S}{d\Omega d\omega_s} = \frac{\omega_s^3 \omega_l V_0}{c^4} e_{s\alpha}^* e_{s\beta} e_{l\gamma} e_{l\lambda}^* S_{\alpha\gamma, \beta\lambda}(\mathbf{x}_l, \mathbf{x}_s, \omega_l, \omega_s), \quad (20)$$

$$S_{\alpha\gamma, \beta\lambda} = (2\pi\hbar^2 V_0 \omega_s^2 \omega_l^2)^{-1} \sum_{n, \mathbf{k}, m_1, m_2} \mathcal{J}_\gamma(\mathbf{x}_l, m_1) \mathcal{J}_\alpha(\mathbf{x}_s, m_2) \mathcal{J}_\lambda(\mathbf{x}_l, m_1') \mathcal{J}_\beta(\mathbf{x}_s, m_2') \times$$

$$\times d_{\mathbf{x}_s \mathbf{k}}^{m_2' m_1'} d_{\mathbf{l} \mathbf{x}_s}^{m_1 m_2} G(\mathbf{x}_l, \omega_l, m_1, \mathbf{k}) G^*(\mathbf{x}_l, \omega_l, m_1', \mathbf{k}) \Phi(m_2, m_2', n, \mathbf{k}), \quad (21)$$

$$\Phi(m_2, m_2', n, \mathbf{k}) = -\frac{1}{2\pi} \int d\omega G(\mathbf{k}, \omega_l - \omega, m_2) G^-(\mathbf{k} - \mathbf{x}_s, \omega_l - \omega - \omega_s, n) \times$$

$$\times G^*(\mathbf{k}, \omega_l - \omega, m_2') D^-(\mathbf{x}_l - \mathbf{k}, \omega). \quad (22)$$

Формулы (20)–(22) справедливы в случае резонансного КРС при условии $\gamma \ll \omega_{LO}$, и основной вклад в сечение будут давать члены с $m_2 = m_2' = m$ и $m_1 = m_1'$. Остальные члены дают вклад, малый по параметру γ/ω_{LO} .

Для того чтобы определить форму линии, необходимо после вычисления $\Phi(n, m, \mathbf{k})$ подставить его в (21) с учетом (15), (16) и проинтегрировать по \mathbf{k} , считая, что при условии

$$\gamma = \gamma(\mathbf{k}, m) \ll \omega_l - \omega_{LO} - E_{ij}(0, m)/\hbar,$$

$$\Gamma = \Gamma(\mathbf{k}) \ll \omega_l - \omega_{LO} - E_{ij}(0, m)/\hbar. \quad (23)$$

Резонансные знаменатели гораздо быстрее меняются при изменении \mathbf{k} в окрестности резонансного значения $\mathbf{k}_{\text{рез}}$, чем прочие величины, зависящие от \mathbf{k} . Далее полагаем $\mathbf{k} = \mathbf{k}_{\text{рез}}$, в результате интегрирования по \mathbf{k} получаем

$$S_{\alpha\gamma, \beta\lambda} = (2\pi\hbar^2 V_0 \omega_s^2 \omega_l^2)^{-1} \frac{d^2}{\hbar^2} \sum_{n, m, m_1} \mathcal{J}_\gamma(\mathbf{x}_l, m_1) \mathcal{J}_\alpha^*(\mathbf{x}_s, m) \mathcal{J}_\lambda^*(\mathbf{x}_s, m) \mathcal{J}_\beta(\mathbf{x}_l, m_1) \times$$

$$\times \sum_{\mathbf{k}} \frac{1}{k^2} G(\mathbf{x}_l, m_1, \omega_l) G(\mathbf{x}_l, m_1, \omega_l) \Phi(n, m, \mathbf{k}) = (2\pi\hbar^2 V_0 \omega_s^2 \omega_l^2)^{-1} \times$$

$$\times \frac{d^2 V_{\alpha\lambda} m_1^{\dagger} p^{\dagger}}{9\pi\hbar^6} \sum_{m_1, m} \left[\frac{\gamma_2}{\gamma_1} \frac{\mathcal{J}_{1z}(m_1)}{\omega_1 \omega_2^2} + \frac{\gamma_2}{\gamma_1} \frac{\omega_l - \omega_{LO} - E_{15}(0, m)/\hbar}{\omega_1^2 \omega_3^2} \mathcal{J}_{2z}(m) + \right.$$

$$+ \frac{\mathcal{J}_{1z}(m_1)}{\omega_s \omega_s^2} + \frac{[(M_{15\perp}/M_{13\perp}) - 1]^4}{\omega_s \omega_s^2} \mathcal{J}_{3z}(m, 1)], \quad (24)$$

$$\mathcal{J}_{1z}(m_1) = \int_{k_{z0}}^{\infty} \left\{ [\omega_l - E_{15}(0, m_1)/\hbar - \frac{\hbar k_z^2}{2M_{15z}} \left(\frac{M_{15\perp}}{M_{15z}} - 1 \right)]^2 + \frac{\gamma_1^2}{4} \right\}^{-1} dk_z,$$

$$\mathcal{J}_{2z}(m) = \int_{k_{z0}}^{\infty} \left\{ [\omega_l - \omega_{L0} - E_{15}(0, m)/\hbar - \frac{\hbar k_z^2}{2M_{15\perp}} \left(\frac{M_{15\perp}}{M_{15z}} + 1 \right)]^2 + \left(\frac{\gamma_1 + \Gamma}{2} \right)^2 \right\}^{-1} dk_z,$$

$$\mathcal{J}_{3z}(m, 1) = \int_{k_{z0}}^{\infty} \left\{ [\omega_s - E_{15}(0, m)/\hbar + E_{13}(0, 1)/\hbar - \frac{\hbar k_z^2}{2M_{15\perp}} \left(\frac{M_{15\perp}}{M_{15z}} - 1 - \frac{M_{15\perp}}{M_{13z}} + \frac{M_{15\perp}}{M_{13\perp}} \right)]^2 + \left(\frac{\gamma_1 + \Gamma}{2} \right)^2 \right\}^{-1} dk_z, \quad (25)$$

$$\omega_1 = -\omega_{l0} + E_{15}(0, m_1)/\hbar - E_{15}(0, m)/\hbar,$$

$$\omega_2 = \omega_s + E_{13}(0, 1)/\hbar - E_{15}(0, m)/\hbar + [\omega_l - E_{15}(0, m_1)/\hbar] \left(\frac{M_{15\perp}}{M_{13\perp}} - 1 \right) - \frac{\hbar k_z^2 \text{ рез}}{2M_{15z}} \left(\frac{M_{15z}}{M_{13\perp}} - \frac{M_{13z}}{M_{13\perp}} \right),$$

$$\omega_3 = -\omega_s - \omega_{L0} + E_{15}(0, m_1)/\hbar - E_{13}(0, 1)/\hbar,$$

$$\omega_4 = \left(\frac{M_{15\perp}}{M_{13\perp}} - 1 \right) [\omega_l - \omega_s - \omega_{L0} - E_{13}(0, 1)/\hbar] + \frac{M_{15\perp}}{M_{13\perp}} [\omega_s + E_{13}(0, 1)/\hbar - E_{15}(0, m)/\hbar] - \frac{\hbar k_z^2 \text{ рез}}{2M_{15z}} \left(\frac{M_{15\perp}}{M_{13\perp}} - \frac{M_{15z}}{M_{13z}} \right),$$

$$\frac{\hbar k_z \text{ рез}}{2M_{15z}} = \left(1 - \frac{M_{13\perp} M_{15z}}{M_{15\perp} - M_{13z}} \right)^{-1} [\omega_l - \omega_{L0} - E_{15}(0, m)/\hbar - \frac{M_{13\perp}}{M_{15\perp}} (\omega_l - \omega_s - \omega_{L0} - E_{13}(0, 1)/\hbar)]. \quad (26)$$

Интегралы (25) дают формулы, аналогичные (4) из [5]. Пороговое значение определяется по формуле

$$k_{z0} = \sqrt{\frac{2M_{13z}}{\hbar} [\omega_l - \omega_s - \omega_{L0} - E_{13}(0, 1)/\hbar]}. \quad (27)$$

Из (25)–(27) следует наличие в спектре КРС порога

$$\omega_{\text{пор}} = \omega_{L0} + E_{13}(0, 1)/\hbar, \quad (28)$$

а резонанс определяется формулой

$$\omega_{\text{рез}, m} = \omega_{L0} + E_{13}(0, 1)/\hbar + \frac{M_{15\perp}}{M_{13\perp}} [\omega_l - \omega_{L0} - E_{15}(0, m)/\hbar]. \quad (29)$$

Из (29) видно, что в спектре КРС появляется ряд резонансных пиков, расстояние между которыми с ростом m уменьшается по закону $1/m^2$. Наличие порога и нелоренцевой формы линии при однофононном резонансном экситонном КРС делает его похожим на электронное резонансное КРС [4, 5]. Но они имеют различные значения для порога и формы линии. Это позволяет все три вида КРС различать друг от друга. Если сравнивать значения сечения для параметров из [5] и вышеприведенные, приняв $\hbar\omega_{L0} = 10$ мэВ, то видим, что однофононный отклик является малой величиной по порядку малости α_0 относительно бесфононного КРС, что и ожидалось.

Список литературы

- [1] Brandt N. B., Moshchalkov V. V. // Adv. Phys. 1984. V. 33. P. 193.
- [2] Furdyna J. K. // J. Appl. Phys. 1983. V. 64. N 4. P. 29–64.
- [3] Peterson D. L., Petrov A., Dutta M. D., Ramdas A. K., Rodriguez S. // Sol. St. Commun. 1982. V. 43. N 9. P. 667–669.

- [4] Гашимзаде Ф. М., Исмаилов Т. Г., Надирзаде Р. С. // Тез. докл. XIII Всес. совеща. по теории полупроводников. Ереван, 1987. С. 91.
- [5] Гашимзаде Ф. М., Павлов С. Т., Надирзаде Р. С., Исмаилов Т. Г., Белицкий В. И. // ДАН Азерб. ССР, сер. физ. 1989. Т. 46. № 3. С. 11—14.
- [6] Рябченко С. М. // Изв. АН СССР, сер. физ. 1982. Т. 46. № 3. С. 440—445.
- [7] Рябченко С. М., Семенов Ю. Г., Терлецкий О. В. // ФТТ. 1985. Т. 27. № 10. С. 2901—2908.
- [8] Комаров А. В., Рябченко С. М., Терлецкий О. В., Жору И. И., Иванчук Р. Д. // ЖЭТФ. 1977. Т. 73. № 28. С. 608—617.
- [9] Ивченко Е. Л., Ланг И. Г., Павлов С. Т. // ФТТ. 1977. Т. 19. № 9. С. 1751—1759.
- [10] Ланг И. Г., Павлов С. Т., Проказников А. В., Гольцев А. В. // Препринт № 866. Л., 1984. 42 с.
- [11] Kohn W., Luttinger J. L. // Phys. Rev. 1955. V. 98. P. 915—921.
- [12] Бир Г. Д., Пикус Г. Е. Симметрия и деформационные эффекты в полупроводниках. М.: Наука, 1972. 583 с.
- [13] Гольцев А. В. // ФТТ. 1980. Т. 22. № 8. С. 2360—2363.

Институт физики АН Азерб.ССР
Баку

Поступило в Редакцию
13 марта 1991 г.